

## تحضير فلم من البولي أنيلين المعزز بأكسيد الغرافين المرجع واستخدامه كإلكترود مضاد في الخلايا الشمسية الصباغية

علا شاهر عامر<sup>1</sup> إبراهيم محمود الغريبي<sup>2</sup>

<sup>1</sup> طالبة دراسات عليا (دكتوراه)، كلية العلوم، جامعة دمشق [ola.amer@damascusuniversity.edu.sy](mailto:ola.amer@damascusuniversity.edu.sy)

<sup>2</sup> استاذ مساعد في قسم الفيزياء، كلية العلوم، جامعة دمشق

[ibrahim.alghoraibi@damascusuniversity.edu.sy](mailto:ibrahim.alghoraibi@damascusuniversity.edu.sy)

### الملخص:

جرى توضيع فلم هجين من البولي أنيلين (PANI) وأكسيد الغرافين المرجع (rGO) على ركائز شفافة ناقلة كهربائياً (ITO) بطريقة كيميائية جديدة وذلك عن طريق بلمرة الأنيلين بوجود معلق أكسيد الغرافين المرجع(rGO)، جرى توصيف كل من الفلم الهجين (PANI/rGO) وفلم البولي أنيلين الشاهد بمطيافية الأشعة تحت الحمراء (FTIR) ومطيافية الأشعة فوق البنفسجية (UV-Vis). درست الخصائص الكهربكيميائية للأفلام المُحضرة بالقياس الفولطاميبرومترى الحلقي (CV) حيث أظهرت المنحنيات ارتفاع الناقلة الكهربائية في الفلم الهجين قرابة سبعة أضعاف مما كانت عليه في فلم PANI. درست مورفولوجيا سطح الفلم المحضر باستخدام المجهر الإلكتروني الماسح (FE-SEM) لوحظ في بنيتها وجود صفائح نانوية من أوكسيد الغرافين المرجع محملة بالبوليمر. تم تطبيق الفلم الهجين كإلكترود مضاد في الخلية الشمسية الصباغية التي حضرت من صباغ التوت الشامي الطبيعي وفلم أوكسيد الزنك النانوي الذي تم تحضيره وتوصيفه بنبيوياً باستخدام مجهر القوة الذرية (AFM) حيث بلغت أبعاد الحبيبات نحو 50nm، وبفجوة طاقية تساوي 3.26eV، ودرس أداء الخلية الشمسية حيث وصل مردود الخلية نحو 2.65% ومعامل ملء 0.9.

تاريخ الإيداع: 21/01/2024  
تاريخ الموافقة: 17/03/2024



حقوق النشر: جامعة دمشق -  
سوريا، يحتفظ المؤلفون بحقوق  
النشر بموجب الترخيص  
CC BY-NC-SA 04

**الكلمات المفتاحية:** فلم هجين، بولي أنيلين، أكسيد الغرافين المرجع، قياس الفولطا  
أمبيرومترى الحلقي، خلية شمسية صباغية، فلم أوكسيد الزنك النانوي.

## Preparation film of Polyaniline Enhanced by reduced graphene oxide and its use as a counter electrode in Dye-Sensitized Solar Cells

**Ola Shaher Amer<sup>1</sup> Ibrahim Mahmoud Alghoraibi<sup>2</sup>**

<sup>1</sup> Damascus University, Faculty of Science, Physics Department,  
[ola.amer@damascusuniversity.edu.sy](mailto:ola.amer@damascusuniversity.edu.sy)

<sup>2</sup> Damascus University, Faculty of sciences, Physics Department,  
[ibrahim.alghoraibi@damascusuniversity.edu.sy](mailto:ibrahim.alghoraibi@damascusuniversity.edu.sy)

### Abstract:

Hybrid film of Polyaniline (PANI) and the reduced Graphene oxide (rGO) has been deposited on transparent conductive substrates (ITO) via new chemical method. The (PANI/rGO) and Polyaniline films were characterized by the (FTIR) spectroscopy and (UV-Vis) spectrophotometry. The electrochemical properties of the (PANI/rGO) film was studied via cyclic voltammetry (CV) where the conductivity increased approximately seven times compared to the initial value of PANI film. The surface morphology was examined by scanning electron microscopy (FE-SEM). The (PANI/rGO) film was used as a counter electrode in the dye-sensitized solar cell which prepared using shami- berries and ZnO nanofilm. the film morphology was examined using atomic force microscopy. The nanoparticles size obtained was of the order of 50 nm and the band gap energy was about 3.26 eV. The photo conversion efficiency of the dye-sensitized solar cell was about 2.65% with fill factor of 0.9.

**Keywords:** Hybrid film, Polyaniline, reduced graphene oxide, The Cyclic Voltammetry (CV), Dye-sensitized solar cell, Zinc oxide nanofilm.

Received :2024/01/21  
Accepted:2024/03/17

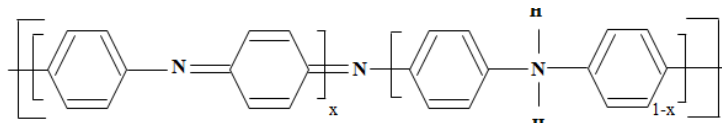


Copyright: Damascus University- Syria, The authors retain the copyright under a CC BY- NC-SA

## مقدمة:

ينشغل الباحثون في مختلف العلوم بكيفية الحصول على الغرافين نظراً لخصائصه الكهربائية والسطحية والميكانيكية المبهرة فهو مؤلف من رقاقات ثنائية بعد من طبقة واحدة من ذرات الكربون ذات التهجين  $sp^2$  مرتبطة بشكل يماثل ترتيب خلايا النحل، حيث طورت العديد من الطرق لإنتاجه أو للحصول على مركب يشبهه بنبيوياً. رُشح الغرافين لتعزيز الخصائص الكهروكيميائية للبوليمرات الناقلة وعلى وجه الخصوص البولي الأنيلين الذي يعد من أشهرها نظراً لتمتعه بخصائص جذابة كسهولة تصنيعه وانخفاض تكلفته وحداثته البنائية واستقراره الحراري، يعرض الشكل (1) الوحدة المترکرة في البولي الأنيلين حيث يمتلك ثلاثة أشكال مدرجة بالجدول [1] [2].

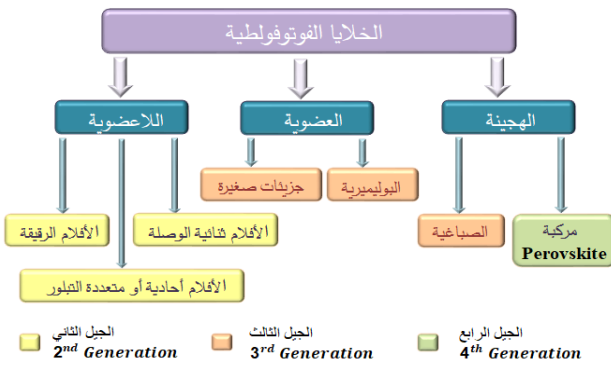
جدول 1: أشكال البولي الأنيلين	
ليكومارالدين	Leucoemeraldine
امرالدين	Emeraldine
بريفالينين	Pernigraniline



الشكل (1): الوحدة المترکرة في البولي الأنيلين.

يدخل بوليمر الأنيلين في تركيب مواد كثيرة مستخدمة في حياتنا كالخلايا الشمسية، والمحسنات الحيوية والكيميائية، وهندسة النسج الحية وغيرها، ولكنه يعاني من تدني أدائه ورداة ناقليته الكهربائية مع الاستخدام طويلاً للأمد وكانت أحد الحلول لتعزيز خصائصه الكهروكيميائية هو اقتزانه مع مواد كربونية. يعد الغرافين من بين أفضل المعززات لهذه الغاية نظراً لانخفاض كلفته وسعة سطحه وخصائصه الميكانيكية الفريدة [3].

رُشحت الأفلام المحببة المكونة من أكسيد الغرافين المرجع والبولي الأنيلين للعديد من التطبيقات في المجالات الكهربائية أهمها الخلايا الشمسية التي تُعد المنافس الأبرز لمواد مختلفة استخدمت في تطبيقات الطاقات المتجددة، حيث تُصنف الخلايا الشمسية بشكل عام إلى أربعة أجيال كما هو مُبين في الشكل (2)، تشمل خلايا الجيل الأول خلايا السيلكون البلوري التي تمتاز بالقيمة الأعلى للكفاءة بين الخلايا الشمسية، ولكن تكلفة الإنتاج المرتفعة وجهت الأبحاث نحو خلايا الأفلام الرقيقة التي تشمل خلايا السيلكون الالبوري وخلايا أنصاف النواقل الأخرى ككبريتيد الكادميوم، والتي صُنفت كجيل ثانٍ حيث تتميز بانخفاض التكلفة ولكن بمحدود أقل نسبياً. وضمن دائرة أجيال الخلايا الشمسية تم التوجه إلى الجيل الثالث الذي لم يصل إلى مرحلة النضوج الكامل والمختلف بالبنية آلية العمل عن الأجيال السابقة حيث يشمل الخلايا العضوية والخلايا الشمسية الصباغية التي تمتاز بالتكلفة الأقل والمحدود الجيد عند دراسة النسبة ما بين التكلفة والأداء [4]. تكون الخلايا الشمسية المحسنة صباغياً من عدة طبقات أساسية هي الإلكترود الضوئي والذي يُمثل نافذة الخلية ويحضر من طبقة أكسيد نصف ناقل أكسيد الزنك [5] تحمل جزيئات المادة الصباغية التي تعمل بدورها كمولد للإلكترونات في الخلية عند امتصاص الضوء [6]، وطبقة الإلكترود المضاد من البلاتين غاليا الثمن. يهدف هذا العمل إلى تحضير فلم هجين من البولي الأنيلين (PANI) وأكسيد الغرافين المرجع (rGO) على شرائح شفافة ناقلة كهربائياً من أكسيد القصدير والإنديوم (ITO) بطريقة كيميائية جديدة وبسيطة لرفع خصائص البوليمر عن طريق بلمرة الأنيلين بوجود معلق أكسيد الغرافين المرجع وتطبيقه في الخلايا الشمسية الصباغية كإلكترود مضاد عوضاً عن البلاتين نظراً للتوصل إلى محدود جيد مقارنة في الدراسات والمرجعيات السابقة [7].



### 1.1. دراسة أداء الخلية الشمسية المحسنة صباغياً

لدراسة أداء الخلية يتم حساب استطاعتها العظمى ومعامل الماء وكفاءة التحويل الشمسية [8] كالتالي:

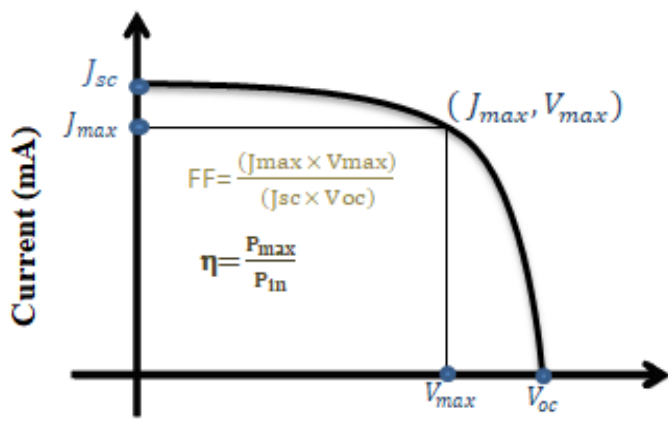
#### 1. الاستطاعة العظمى للخلية الشمسية:

يتم تحديدها عند إنتاج أقصى خرج للخلية من خلال تيار وكمون الدارة في الشروط المعيارية أي عند تعرض الخلية لضوء بشدة 1000

W/m<sup>2</sup> كالتالي:

$$P_{max} = I_{sc} \cdot V_m \quad \text{حيث: } I_{sc} < V_{oc} < I_m$$

حيث:  $V_{oc}$  : فرق كمون الدارة المفتوحة، أما  $I_{sc}$ : تيار الدارة المقصورة. يوضح الشكل (3) منحني I-V لإيجاد معاملات الخلية الشمسية في حالة الإضاءة.



الشكل (3): منحني I-V لإيجاد معاملات الخلية الشمسية.

#### 2. معامل الماء (Fill Factor) FF

يُعرف معامل الامتناء للخلية الشمسية بأنه العلاقة التي تربط ما بين فرق كمون الدارة المفتوحة  $V_{oc}$  وتيار الدارة المقصورة  $I_{sc}$

والاستطاعة العظمى  $P_{max}$ ، تؤخذ قيمته كنسبة مئوية ويتم تحديده بالعلاقة التالية:

$$FF = \frac{P_{max}}{V_{oc} \cdot I_{sc}} = \frac{I_m \cdot V_m}{I_{sc} \cdot V_{oc}}$$

#### 3. قياس كفاءة التحويل الشمسية (η)

يتم تقدير كفاءة التحويل الشمسي (المردود) كنسبة ما بين الاستطاعة الكهربائية لخرج الخلية إلى استطاعة دخل تعرضها للضوء  $P_{in}$  تحت الشروط المعيارية عند الاستطاعة العظمى  $P_{max}$ ، وفق العلاقة التالية:

$$\eta = \frac{P_{max}}{P_{in}} = \frac{I_{SC} \times V_{OC} \times FF}{P_{in}}$$

## المواد والطرائق:

### 1. المواد المستخدمة:

ركائز ITO (zhang guo shujin) (40 $\times$ 6 $\times$ 1.1)mm، غرافيت (sigma<20micron) (40 $\Omega$ .cm)، حمض الكبريت (Merck)، برمغنتات البوتاسيوم (Avonchem)، نترات الصوديوم (Reidel)، ماء أكسجيني 33% (panreac)، الأنيلين شائي (Merck)، إيثانول (panreac)، ثلاثي إيثانول أمين (TEA)، ماء مقطر.

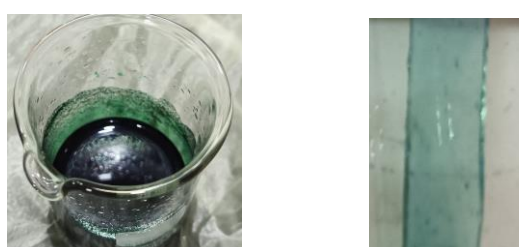
### 2. التوصيفات والطرائق:

مسح طيف تحت الأحمر للأفلام PANI و PANI/rGO في المجال (400-4000)cm<sup>-1</sup> بمطياف (FTIR) صنع (Shimadzu) و مسح الطيف المرئي VIS - UV spectrophotometer (200-800)nm بجهاز IRSpirit طراز 5000، اختبرت طبوغرافيا سطح فلم أوكسيد الزنك بمجهز القوة الذرية AFM صنع شركة Varian carry 5000 للحصول على طبوغرافيا السطح المستوى بمقدرة فصل ذرية تتراوح بين 0.2-0.2nm، وبالمجهز الإلكتروني الماسح (MIRA 3 TESCAN) (FE-SEM) الملحق مع مطيافية EDX للتحليل العنصري للعينات. تُفذت القياسات الكهربائية في خلية ثلاثة إلكترودات: 1. الإلكترود العامل: (ركازة ITO المعدل بالتركيبة الثنائية Nanosurf السويسرية، طراز easyScan2) 2. الإلكترود المساعد: (سلك من البلاتين)، 3. الإلكترود المرجعي: (إلكترود الفضة/كلوريد الفضة المعياري). اجريت القياسات الفولطامبيرومترية الحلقية (CV) باستخدام محطة (IVIUMSTAT. XR) عند درجة حرارة المختبر في كهرباء مائية من 1 M H<sub>2</sub>SO<sub>4</sub> مع 0.1 M KCl في المجال (-0.2, 1) V عند سرعة مسح .50 mV/s.

## العمل التجاري:

### 1. تحضير فلم رقيق من البولي الأنيلين

حضر فلم رقيق من البولي الأنيلين بطريقة الترسيب على الموقع حيث تم إضافة 0.1M من الأنيلين إلى 10ml من الماء المحمض بحمض الكبريت بتركيز 0.01M، مع استخدام فوق كبريتات الأمونيوم كعامل مؤكسد بتركيز 0.1M، يُظهر الشكل (4) صور البوليمر المحضر محلول وفلم رقيق.

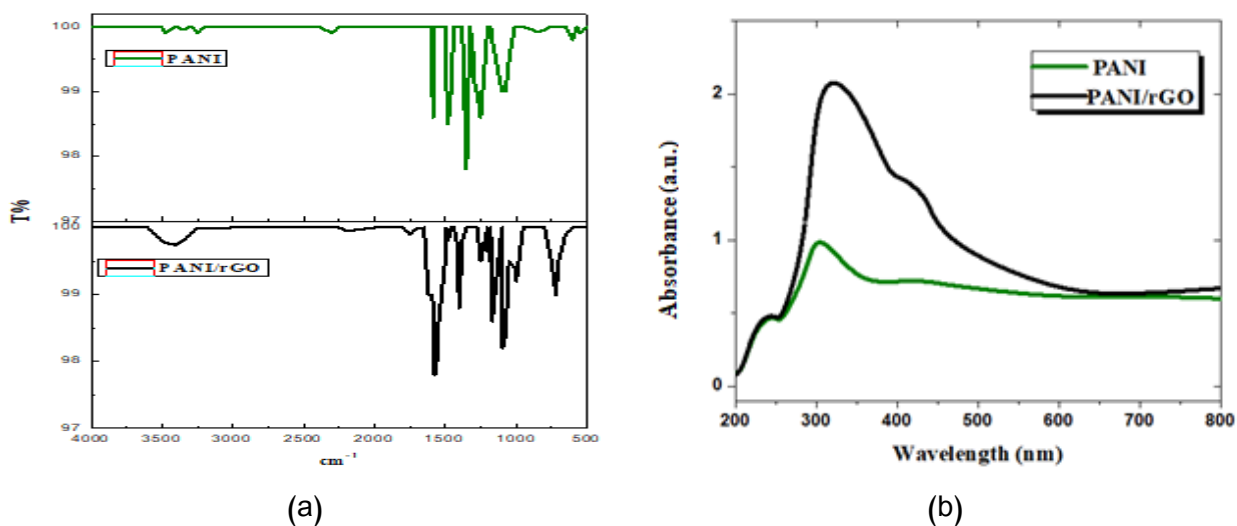


الشكل (4): صور البوليمر المحضر محلول وفلم رقيق.

## 2. تحضير فلم PANI\rGO بالبلمرة الكيميائية

استُخدم أكسيد الغرافين المرجع المحضر من أكسيد الغرافين GO بطريقة همر المعدلة والمرجع بالهدرازين (1 $\mu$ L من 3mg 1mL GO). حُضر فلم PANI\rGO الهجين كيميائياً على ركارة ITO بإضافة أكسيد الغرافين المرجع بنسبة (1mg من rGO لكل 1mL من محلول الأنيلين) أثناء بلمرة الأنيلين.

تم توصيف كلٍ من الفلم الهجين (PANI/rGO) وفلم البولي أنيلين بمتدافيه الأشعة تحت الحمراء (FTIR) ومطدافيه الأشعة فوق البنفسجية (UV - Vis)، يظهر الشكل (5) كلاً من طيف الامتصاصية الضوئية في المجال فوق البنفسجي والمجال المرئي (-200-400nm) ومنحنيات الطيف تحت الأحمر (FTIR) في المجال (4000-400cm<sup>-1</sup>) لفلم البوليمر والفلم الهجين.



الشكل (5): a) طيف الأشعة تحت الحمراء b) FTIR

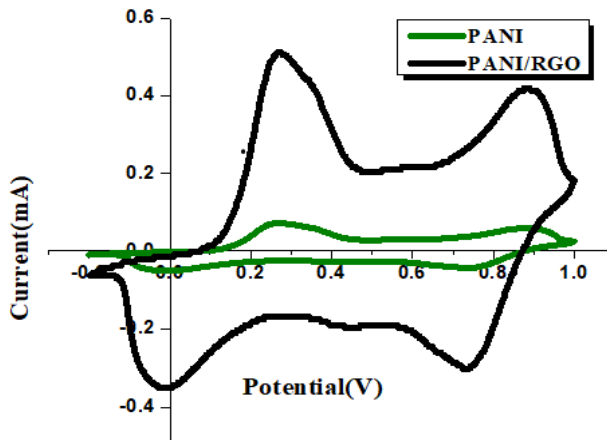
كل من فلم PANI /rGO والفلم الهجين

يُلاحظن الشكل (5) ظهور قمماً تُعزى لزمر كربون متراافق تدل على تشكيل البوليمر على سطح أوكسيد الغرافين المرجع، كما يشير الشكل (a-5) إلى ظهور عصابة عند 1137 cm<sup>-1</sup> تعود للزمرة (C=N) وعصابة عند 1340 cm<sup>-1</sup> تعود إلى زمرة (C-N) لفلم (C-N) [9]، بينما يُلاحظ من طيف الفلم الهجين الشكل (a-5) قمماً تعود للزمر المراافق لحلقة الكربنوي (C=N) 1600cm<sup>-1</sup> وزمرا (C=C) 1461 cm<sup>-1</sup> مما يدل على اندماج البوليمر وأكسيد الغرافين المرجع كما هو مبين في الجدول (2). يُبين الشكل (b) ظهور قمة واضحة عند 300 nm بسبب الانتقال  $\pi - \pi^*$  في حلقة البنزوزوئيد وقمة كتف عند 450 nm لفلم الا PANI تزداد شدتها في طيف امتصاص الفلم الهجين لسهولة النقل الالكتروني وتزايد برتبة البوليمر [10].

جدول 2: الزمر المميزة بطييف FTIR لكل من لفلم البولي أنيلين والفلم الهجين.

	العدد الموجي (cm <sup>-1</sup> )	الزمرة
لفلم البولي أنيلين	1137	C=N
	1340	C-N
لفلم الهجين	1600	C=N
	1461	C=C

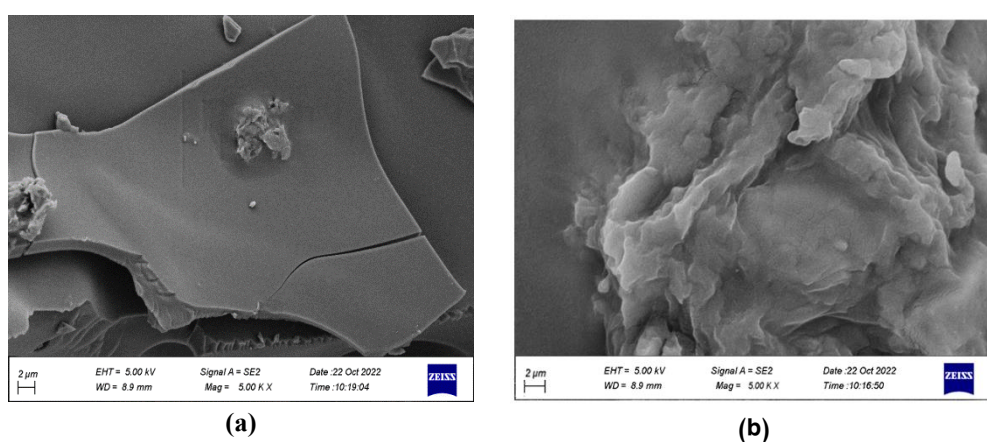
دُرست الخصائص الكهربائية للأفلام المُحضرة كما يظهر في الشكل (6) باستخدام القياس الفولطامبيرومترى الحلقى (CV) للتأكد من توافق قم المنحني الفولطامبيرومترى مع التحولات بين أشكال البولي أنيلين المختلفة، ومساهمة أكسيد الغرافين المرجع في عملية النقل الإلكتروني وخفض المقاومة الأومية للتركيبة، أجريت القياسات في المجال V (1, 0.2-) عند سرعة مسح 50 mV /s.



الشكل(6): المنحني الفولطامبيرومترى الحلقى لفلم البوليمير الصرف والفلم الهجين.

يُلاحظ من الشكل (6) زيادة قيم التيار قرابة سبعة أضعاف مما كانت عليه في فلم PANI مما يدل على ارتفاع الناقلية الكهربائية للفلم الهجين وبالتالي تحسن خصائصه الكهربائية [11]. مما يدل على نجاح طريقة التحضير وتحسين خصائص البوليمير وهذا يجعل الفلم مرشحاً للاستخدام في الخلايا الشمسية الصباغية.

تم فحص مورفولوجيا السطح لكل من فلم البولي أنيلين والفلم الهجين باستخدام المجهر الإلكتروني الماسح (FE-SEM)، يُظهر الشكل (7) صور المجهر عند درجة التكبير 200nm. يُلاحظ تشكيل أكسيد الغرافين المرجع على شكل صفائح بسمكية نانوية نحو 80nm وتشكل البوليمير على سطحه مما يدل على اندماج البنيتين.



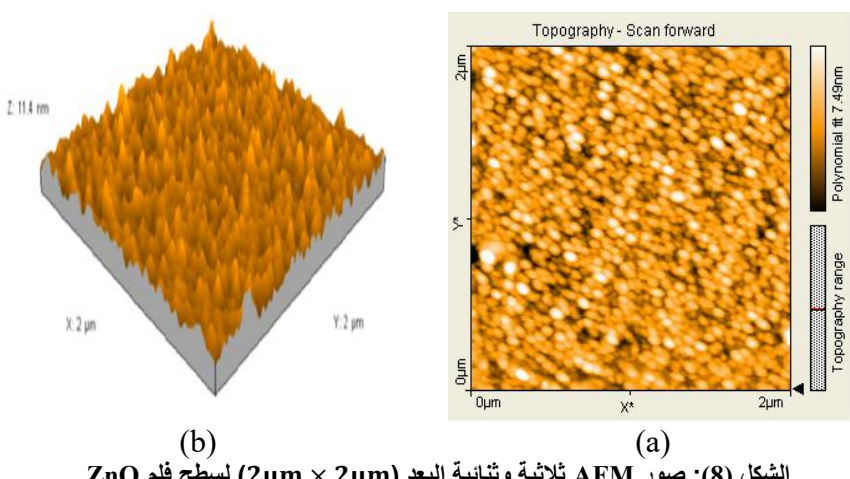
الشكل(7): صور FE- SEM (a) الفلم الهجين PANI/rGO، (b) فلم البولي أنيلين.

### 3. تحضير الخلية الشمسية الصباغية ودراسة أداءها

لتحضير الخلية الشمسية الصباغية واستخدام الفلم الهجين المحضر كإلكترود مضاد يجب توفير الألكترود الضوئي الذي قمنا بتحضيره من أوكسيد الزنك المحمى بصباغ التوت الشامي.

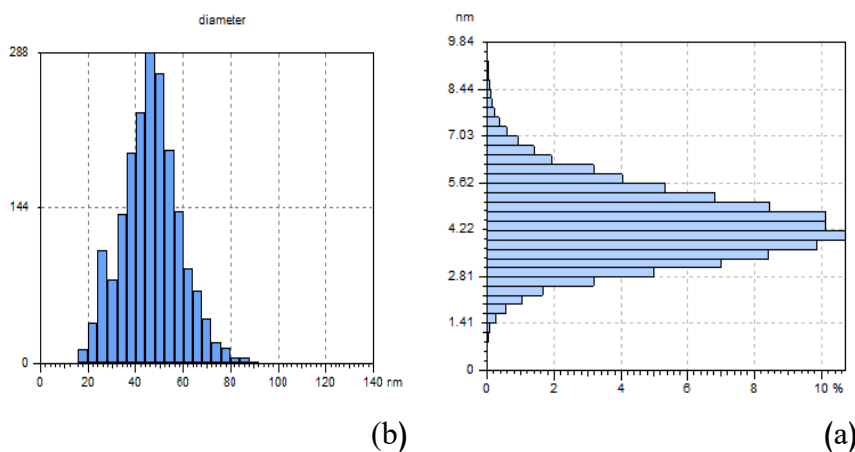
### 3.1. تحضير فلم أوكسيد الزنك النانوي:

حضر فلم الأوكسيد بسماكه نحو 95nm بتقنية السول جل (Sol-Gel) وباستخدام جهاز التوضيع بالغمس بعد أمثلة الشروط التجريبية باستعمال محلول خلات الزنك المائية ( $Zn(CH_3COO)_2 \cdot 2H_2O$ ) كمصدر لشوارد الزنك بتركيز 0.2M ، واختيار الميثanol كمادة محلة مع إضافة كمية من TEA كعامل مثبت ومحفز ، وحددت قيمة سرعة سحب الركازة الزجاجية  $1 \text{ mm/s}$  ولمدة زمنية لا تتجاوز دقيقة واحدة ، وبعد انتهاء عملية التوضيع جُفف الفلم بدرجة حرارة  $100^\circ\text{C}$  لمدة 10 min ، كرت عملية الغمس والتجفيف خمس مرات متتالية بهدف الحصول على غشاء بسماكه متجانسة ، بعد ذلك وضعت العينات المحضرة بدرجة الحرارة  $500^\circ\text{C}$  لمدة 2 h [12]. تم دراسة مورفولوجيا السطح لfilm أوكسيد الزنك بواسطة مجهر القوة الذرية (AFM) كما موضح في الشكل (8) ، وباستخدام برنامج خاص لمعالجة الصور (nanosurf easyscan) ملحق بالمجهر ، وجرى حساب كلاً من متوسط أقطار وارتفاعات الحبيبات المتشكلة في فلم  $\text{ZnO}$ .



الشكل (8): صور AFM ثلثية وثنائية البعد ( $2\mu\text{m} \times 2\mu\text{m}$ ) لسطح فلم  $\text{ZnO}$

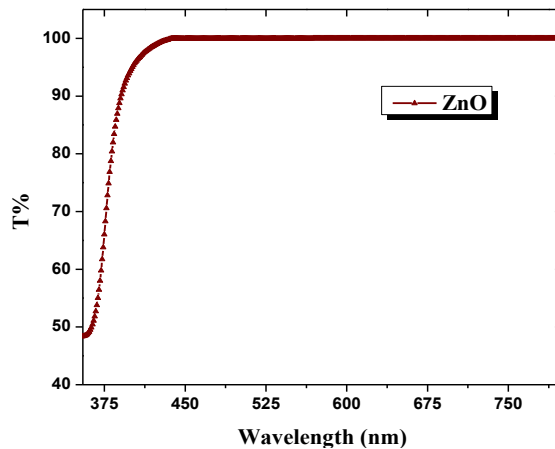
يُبيّن الشكل (9) منحنيات التوزيع الإحصائي لأقطار وارتفاعات حبيبات الفلم ، حيث يُلاحظ تشكّل حبيبات نانوية بقطر وسطي 50nm وارتفاع نحو 4nm.



الشكل (9): مخططات توزيع أقطار وارتفاعات الحبيبات لfilm  $\text{ZnO}$  المحضر.  
(a): توزيع ارتفاعات الحبيبات ، (b): توزيع أقطار الحبيبات.

توضّح صور مجهر القوة الذرية لfilm أوكسيد الزنك الشكل (8) ومنحنيات التوزيع الإحصائي لأقطار وارتفاعات الحبيبات الشكل (9) تشكّل حبيبات نانوية تأخذ شكلاً كرويًّا من حيث الشكل وتوزّع الأبعاد وكثافة الحبيبات وبقطر وسطي 50nm وارتفاع نحو 4nm.

يُبين الشكل (10) طيف النفوذية الضوئية للوسط الفعال للخلية ضوئياً في المجال فوق البنفسجي والمجال المرئي (350-800nm) حيث وصلت نفوذيتها نحو 99% في المجال المرئي مما يُرشحه ليكون وسط شفاف جيد لتلك الخلية [13].

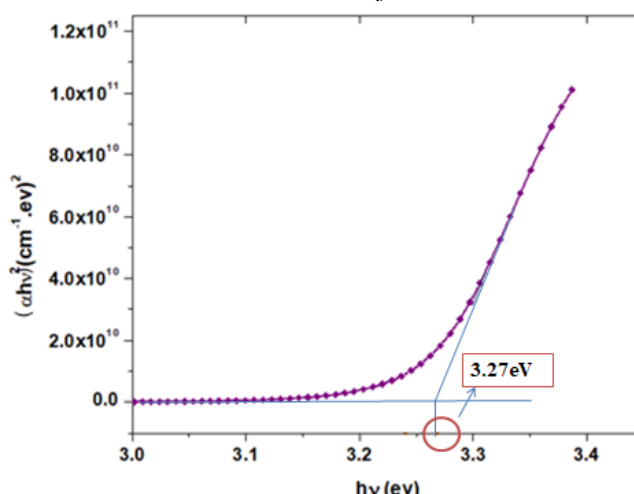


الشكل (10): طيف النفوذية الضوئية UV-VIS للوسط الفعال المحضر.

يرتبط معامل الامتصاص مع طاقة الفوتون والفجوة الطاقية من أجل الانتقال المباشر المسموح بالعلاقة التالية [9]:

$$\alpha h\nu = A(h\nu - E_g)^{1/2}$$

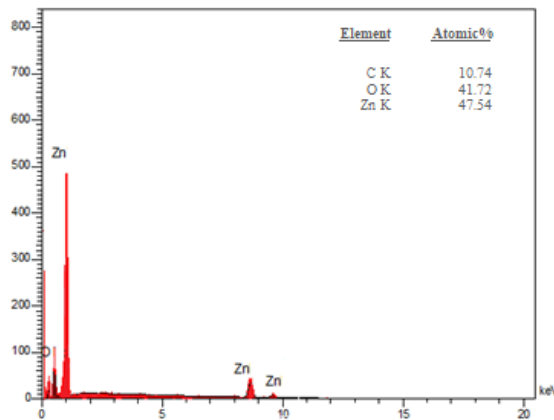
حيث:  $\alpha$ : معامل الامتصاص ( $\text{cm}^{-1}$ ),  $h\nu$ : طاقة الإشعاع الساقط (eV),  $E_g$ : الفجوة الطاقية (eV). حُسبت قيمة الفجوة الطاقية الضوئية المباشرة  $E_g$  لفلم أكسيد الزنك المحضر من العلاقة السابقة، وذلك بأخذ قيمة نقطة تقاطع الجزء الخطى للمنحنى البيانى الممثل لتغيرات قيمة  $(\alpha h\nu)^2$  مع المحور  $h\nu$  الممثل لطاقة الفوتون الساقط في نقطة  $(\alpha h\nu)^2 = 0$  كما هو مبين في الشكل (11).



الشكل (11): المنحنى البيانى  $(\alpha h\nu)^2$  بدلالة  $h\nu$  لغشاء ZnO المحضر.

بلغت قيمة الفجوة طاقية لفلم أكسيد الزنك نحو 3.27eV وهي مقاربة لقيمة الفجوة الطاقية لمادة أوكسيد الزنك المذكورة في الدراسات المرجعية [14].

شخص الفلم المحضر بواسطة جهاز التحليل العنصري EDX الشكل (12)، حيث يُدلل الطيف على وجود عنصري الأكسجين والزنك.

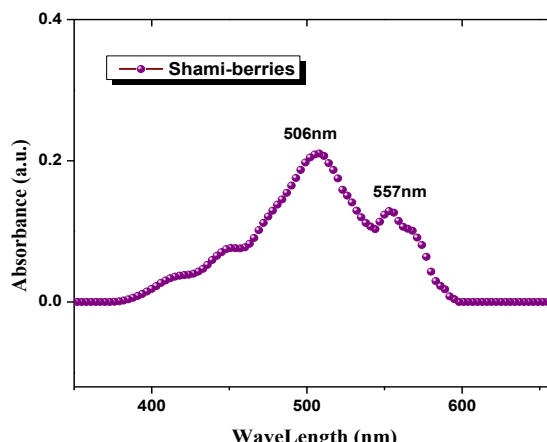


الشكل (12): طيف EDX لفلم ZnO المُحضر وجدول معطيات التحليل العنصري.

### 3.2. تحضير الصباغ:

حضر الصباغ العضوي الطبيعي من التوت الشامي وذلك بطحن 100g وزناً من الشمار الطبيعية في 10ml من محلول الماء المقطر والإيثانول وحمض كلور الماء (80% Ethanol و 1% HCl)، واستُخدمت المثلجة للتخلص من البقايا العالقة ورشح محلول الناتج بواسطة قمع بوخر.

جرى توصيف الصباغ المُحضر ضوئياً ضمن المجال (UV – VIS) كما هو مبين في الشكل (13).



الشكل (13): طيف الامتصاص الضوئية لصباغ التوت المُحضر.

يشير الطيف إلى وجود قمتين امتصاص عند الطولين الموجيين 506nm و 557nm، حيث بلغت قيمة الامتصاص المُوافقة 22% و 13% على الترتيب.

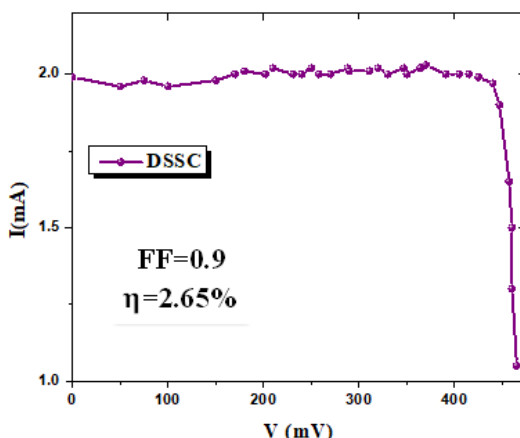
### 3.3. تحضير الإلكترود الضوئي بطريقة الغمس

وضع فلم أكسيد الزنك المُحضر بالمجففة لمدة 10 min قبل تحميل المادة الصباغية عليه، عُمسَت الركازة مباشرة في محلول الصباغ لمدة 24 h وذلك للحصول على امتصاص كامل للصباغ على سطح الفلم، وُسُحبَت الركازة المحملة بالأكسيد النانوي ZnO والصباغ من محلول، وُغُسلَت بالماء المقطر والإيثانول لعدة مرات للتخلص من أي جزيئات غير مرتبطة.

### 3.4. دراسة أداء الخلية الشمسية الصباغية المحضرة (Dye Sensitized Solar Cell (DSSC))

حضرت الخلية بمساحة فعالة ( $0.35\text{cm}^2$ ) ودرس أداءها بتعرضها للشمس بكثافة ضوئية واردة نحو  $1000\pm30\text{W/m}^2$  حددت بالاستعانة ببرامج محاكاة [15] تعطي قيمة الكثافة الضوئية كتاب للموقع الجغرافي والوقت ضمن النهار ، كما تم تكرار القياس ثلاث مرات خلال ثلاثة أيام وأخذت القيم الوسطية.

يُبين الشكل (14) أداء الخلية المحضرة من الفلم الهجين المحضر PANI\IrGO والإلكترود الضوئي المحضر المحمي بصباغ التوت الشامي في حالة الإضاءة. يُلاحظ أن مردود الخلية بلغ نحو 2.65% ومعامل الملة 0.9، تعد هذه القيمة جيدة ضمن نطاق هذا الجيل من الخلايا [16.17.18].



الشكل (14): منحني (I-V) للخلية الشمسية المحضرة

### الاستنتاجات والتوصيات:

حضر بنجاح فلم هجين من بوليمر ناقل وأكسيد الغرافين المرجع كيميائياً وتم الحصول على خصائص كهربكيميائية محسنة من خلال التأزر بين المادتين، حيث بين كل من طيف التفونية الضوئية وطيف تحت الاحمر (FTIR) ظهور قم تُعزى إلى زمر كربون PANI تدل على تشكل PANI على سطح أكسيد الغرافين المرجع. كما بين قياس الفولطامبيرومترى الحلقى للفلم الهجين PANI\IrGO ازدياد قيمة التيار قربة سبعة أضعاف مما كانت عليه في فلم PANI وبالتالي ارتفاع الناقالية الكهربائية في الفلم الهجين وهذا يدل على تحسن خصائصه الكهربائية ونجاح طريقة التحضير المتبعة، تم استخدام الفلم الهجين كإلكترود مضاد في الخلية الشمسية الصباغية حيث حُضر الإلكترود الضوئي من أكسيد الزنك النانوى وتم الحصول على حبيبات نانوية البنية كروية الشكل أبعادها نحو 50nm بنفونية عالية ضمن المجال المرئي بلغت نحو 99%، وبلغ مردود الخلية الشمسية المحضرة إلى 2.6% ومعامل ملة 0.9 وذلك بتكلفة منخفضة وأداء جيد. قد تؤثر طريقة التحضير المتبعة على مردود الخلايا الشمسية لذلك نوصي بتحضير فلم هجين بطريقة كهربكيميائية وختبار تغير مردود الخلية، إضافة إلى أن مفهوماً الأفلام باستخدام أكسيد الزنك النانوى على شكل قضبان نانوية قد يكون عامل مؤثر.

## المراجع

1. Koren A. A correlative study of polyaniline electropolymerization and its electrochromic behavior. *Journal of The Electrochemical Society*. 2020 Oct; 167:106504
2. Li H, Song J, Wang L, Feng X, Liu R, Zennng W, Huang Z, Ma Y, Wang L. Flexible all -sold-state supercapacitors based on polyaniline orderly nanotubes array. *Nanoscale*. 2017 Oct; 193:200
3. Xiaolu H, Nantao Hu. Reduced graphene oxide-polyaniline hybrid: preparation, characterization and its application for ammonia gas sensing. *J. matar.chem.* 2012;22488–95.
4. Sharma K, Sharma V and Sharma SS. Dye-Sensitized Solar Cells: Fundamentals and Current Status. *Nanoscale Res Lett*. 2018 Nov 28; 13:381.
5. Wibowo A, Maarsudi M, Amal M, Ananda M, Stephanie R, Ardy H, Diguna L. ZnO nanostructured materials for emerging solar cell application. 2020 Nov; 42838:42859.
6. Ossai A, Alabi A, Ezike S, Aina A. Zinc Oxide-Based Dye-Sensitized Solar Cells using Natural and Synthetic Sensitizers. *Journal Pre-proof*. 2020 Nov; S2666-0865(20)30046-1
7. Prouskas C, Mourkas A, Zois G, Lidorikis E, Patsalas P. A New Type of Architecture of Dye-Sensitized Solar Cells as an Alternative Pathway to Outdoor Photovoltaics. *Energies*. 2022 Mar; 15:2486.
8. Park K, Kim SJ, Gomes R, Bhaumik A. High performance dye-sensitized solar cell by using porous polyaniline nanotubes as counter electrode. *Chem Eng J [Internet]*. 2014; Available from: <http://dx.doi.org/10.1016/j.cej.2014.08.105>
9. Kumar NA, Choi H, Shin YR, Chang DW, Dai L. Polyaniline-Grafted Reduced Graphene Oxide for Efficient Electrochemical. 2012;(2):1715–23.
10. Sheng K, Bai H, Sun Y, Li C, Shi G. Layer-by-layer assembly of graphene / polyaniline multilayer films and their application for electrochromic devices. *Polymer (Guildf) [Internet]*. 2011;52(24):5567–72. Available from: <http://dx.doi.org/10.1016/j.polymer.2011.10.001>
11. Pirzado A, Normand F, Romero T, Paszkiewicz S, Papaefthimiou V, Ihiawakrim D, Janowska I. Few-Layer Graphene from Mechanical Exfoliation of Graphite-Based Materials: Structure-Dependent Characteristics. *ChemEngineering*. 2019 Apr; 3:37
12. علام، علا. (2019)، دراسة إمكانية تحضير خلايا شمسية صباغية باستخدام بنى نانوية من أوكسيد الزنك. رسالة ماجستير، قسم الفيزياء، كلية العلوم، جامعة دمشق، قاعدة بيانات مديرية البحث العلمي <http://damascusuniversity.edu.sy\sr>
13. Morales P, Peraza A, Olivas O, Parra G, Lopez Y, Carmona V, Galvez H, Chinchillas M. ZnO Semiconductor Nanoparticles and Their Application in Photocatalytic Degradation of Various Organic Dyes. *Materials*. 2021 Des 14, 7537
14. Alsaad A, Bataineh Q, Ahmad A, Telfah A. Optical band gap and refractive index dispersion parameters of boron-doped ZnO thin films: A novel derived mathematical model from the experimental transmission spectra. *Optik - International Journal for Light and Electron Optics*. 2020 Mar 211:16464
15. <https://www.pveducation.org/pvcdrrom/properties-of-sunlight/calculation-of-solar-insolation>.
16. Philip. M.R, Nguyen. P. T, Babu. R, Krishnakumar. V, Thang. H. Polyol Synthesis of Zinc Oxide-Graphene Composites: Enhanced Dye- Sensitized Solar Cell Efficiency. 2018;52–60.
17. Tai Q, Chen B, Guo F, Xu S, Hu H, et al. In Situ Prepared Transparent Polyaniline Electrode and Its Application in Bifacial. 2011;(5):3795–9.
18. Ghann, W, Kang H, Uddin J, Chowdhury F, Khondaker S, Moniruzzaaman M, Kabir M, Raman M. Synthesis and characterization of reduced graphene oxide and their application in dye-sensitized solar cells. *ChemEngineering*. 2019, 3(1),7.